

嫌気性消化における酸生成菌の増殖及び揮発性脂肪酸にに関する研究

東北大学 正員 野池達也
 同 学生員 ○遠藤銀朗
 同 学生員 常山哲

1. はじめに。 嫌気性消化の酸生成相は投入された有機物を加水分解し揮発性有機酸を生成する過程である。この相での最終生産物である揮発性有機酸はひき続くメタン生成相においてメタン発酵される。二つの相に関与する微生物群は代謝活性及び生理的特性等がかなり異なるとされている。従来の嫌気性消化の研究のほとんどは、一長二短の微生物群の混合培養下でなされており、各相に対する最適操作条件に関する知見はあまり報告されていない。本研究は菌体の滞留時間の減少に伴うメタン菌の Wash-out 現象と酸生成菌の増殖動力学的特性及び揮発性有機酸の発酵動力学的特性に関する基礎的知見を得る目的の下になされた。

2. 実験材料、装置及び方法。
 植汚泥；仙台市南蒲生下水処理場の嫌気性消化槽より採取した消化汚泥と下記の合成基質に4ヶ月間以上馴致させた。
 投入基質；グルコースを单一有機炭素源、重炭酸アンモニウムを单一窒素源とし無機栄養塩類を添加した最小培地組成のもので、この合成基質の COD_{cr} は約 12000 mg/L, pH は 8.2 /, C/N 比は 5.0 である。この合成基質の化学的組成を表-1 に示した。
 実験装置；基質の連続的投入とがん縁環による混合液の連続引抜きの可能な嫌気的ケモスリット反応槽を用いた。この装置の概略を図-1 に示した。
 実験方法；菌体の平均滞留時間 (SRT) を流入(出)流量と反応容積によって 0.0 日～0.1 日の範囲で 8 段階に変化させ 各分析項目の定常状態が得られるまで SRT において 2 ヶ月～3 ヶ月にわたる連続実験を行なった。実験装置は 55°C に保たれた恒温器中に収納し加温した。

3. 実験結果及び考察。 各滞留時間 (SRT) における発生ガス中の CH₄ 含有率及び MLVSS の定常状態での平均値を図-2 に示した。CH₄ がスリットの発生によって示されるメタン菌の活性は SRT が 0.43 日より長い場合において見られるが、これより短い SRT ではメタン菌は活性を維持できず Wash-out された。したがってこの Wash-out 現象に基づくメタノ菌のみかけの最大比増殖速度は 2/日～3/日程度であろうと推察される。MLVSS 濃度は SRT 0.09 日におけるよりも高く、このよろんな SRT においても酸生成菌が増殖可能であることが明らかにされた。図-3 に発酵生産された揮発性有機酸 (VFA) の定常状態での平均値を示す。総揮発性有機酸 (TVFA) 濃度は短い SRT において減少を示したが TVFA の生成速度比較すると SRT 3.0 日では 1528 mg/L 日, SRT 0.09 日では 2868 mg/L 日であり SRT の短いところでの VFA の生成速度がかなり大きいことが知られた。生成された VFA のほとんどは低級炭酸、より低級な酢酸とロビン酸は SRT の短い場合に高濃度となり、より高級な酪酸とカプロン酸は SRT の長い場合に高濃度となる。

表-1. 合成基質の化学的組成

| 成 分 | 濃 度 (mg/L) |
|---------------------------------------|------------|
| グルコース | 11700 |
| NH ₄ HCO ₃ | 5235 |
| K ₂ HPO ₄ | 125 |
| MgCl ₂ · 6H ₂ O | 100 |
| MnSO ₄ · 4H ₂ O | 1.5 |
| CuSO ₄ · 5H ₂ O | 5 |
| CoCl ₂ · 6H ₂ O | 0.125 |
| FeSO ₄ · 7H ₂ O | 2.5 |

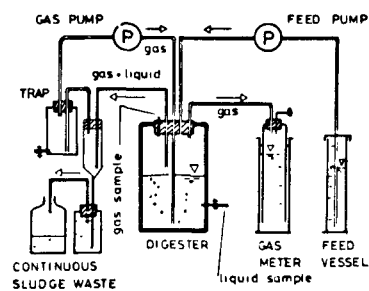


図-1. 実験装置概略図

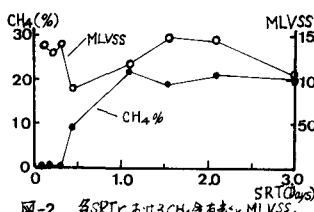


図-2. 各SRTにおけるCH₄含有率とMLVSS.

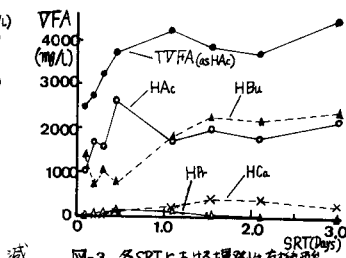


図-3. 各SRTにおける揮発性有機酸

酸生成菌の増殖動力学的方程式及び塗面運動力学的方程式は基本的なものであるが、この便宜上、菌体、基質及びVFAに関する物質収支を考えることによって誘導できる。菌体の物質収支より； $\mu = k_u + D \dots (1)$ ，基質の物質収支より； $V = \frac{S_0 - S}{X} \cdot D \dots (2)$ ，VFAの物質収支より； $\text{入} = \frac{A}{X} \cdot D \dots (3)$ [S；槽内基質濃度， S_0 ；流入基質濃度，X；菌体濃度，D；希釈率($=1/SRT$)， k_u ；死滅速度定数， μ ；比増殖速度， λ ；基質比消費速度， A ；VFA比生成速度]。増殖収率の概念を用いることによって菌体と基質についての物質収支を結合して次式を得る； $(S_0 - S)/X = (k_u/k_g) \cdot V + V/g \dots (4)$ [Y_g；真の増殖収率]。得られたデータと(4)式に基づいて図-4にプロットした。ここでSは基質濃度としてグルコース濃度と、菌体濃度としてMLVSS濃度を用いた。図-2において発生ガス中のメタン含有率からSRT 0.43日以下ではメタン菌の活性が失われほぼ完全な酸生成菌の単相であるとみなされたが、図-4からもSRT 0.43日以下における微生物の増殖は特定の動力学的定数をもつことが知られた。SRT 0.43日以下の酸生成菌単相について求められた定数を表-2とした。

比増殖速度、基質利用速度及びVFA比生成速度がいずれも基質濃度に対して Monod の式と同型の関数であるとすると； $\mu = \frac{\mu_{max} \cdot S}{K_p + S}$ ， $V = \frac{\mu_{max} \cdot S}{K_p + S}$ ， $A = \frac{\lambda_{max} \cdot S}{K_A + S}$ [μ_{max} ， λ_{max} 及び λ_{max} ；各々増殖、基質利用及びVFA生成の最大比速度， K_p ， K_A 及び K_{VA} ；各々増殖、基質利用及びVFA生成に関する基質飽和定数]。これらを動力学的解析に供するため Eadie-Hofstee Plot を用いると； $S/\mu = (\lambda_{max}/\mu_{max}) \cdot S + K_p/\mu_{max} \dots (5)$ ， $S/V = (1/\mu_{max}) \cdot S + K_p/\mu_{max} \dots (6)$ ， $S/A = (1/\lambda_{max}) \cdot S + K_A/\lambda_{max} \dots (7)$ 。酸生成菌の単相における(5)，(6)，(7)式に基づくプロットを図-5，6，7 に示した。図-7 中に実線で示したもののは純酸性有機酸(TVFA)；添字 A に対するもので、点線で示したもののは酢酸；添字 HAc に対するものである。これらより得られた動力学的定数を表-2 に示した。図-8 に増殖活性とVFA発酵の関連性を示した。 μ 対 A の相関係数は 0.946 であり、TVFA の発酵は増殖運動型であることが知られた。酢酸については μ 対 A の相関性が小さく ($r=0.462$) 増殖活性との連動性はみられなかった。

基質利用の目的別分布とVFAの生成収率を知るために、Ghosh³⁾ によって提案された式を用いることができると； $X/(U_g + U_e + m\theta) = \rho_0 - S \dots (8)$ [U_g ， U_e ；各々菌体形成及びそのエネルギーのための基質の利用率， m ；維持係数， θ ； SRT]。VFAは菌体形成以外のために利用された基質部分より生成されるので； $A = A_0 + C \cdot X \cdot (U_e + m\theta) \dots (9)$ [A ， A_0 ；各々槽内及び流入VFA濃度，C；VFAの生成収率]。(8)式と(9)式を組み合わせて； $(\rho_0 - S)/X = U_g + \frac{1}{C} \cdot \frac{A}{X} \dots (10)$ 。 U_g 及び U_e と真の増殖収率とは $Y_g = 1/(U_g + U_e) \dots (11)$ によって関係づけられる。(10)式に基づくプロットを図-9に示した。この回帰直線と(11)式から得られた各定数を表-2 に示した。

以上に示したような動力学的特性を酸生成菌が有していることが知られたが、これらの特性値は従来の嫌気性消化の操作条件によって与えられる特性値とは異なるものである。〔参考文献〕 1) Monod, J.; A. Rev.Microbiol., 3, pp371 (1949), 2) Lawrence, A. W., et al.; Jn.WPCF, 41, pp R1 (1969), 3) Ghosh,S., et al.; Jn.WPCF, 46, pp 718 (1974)

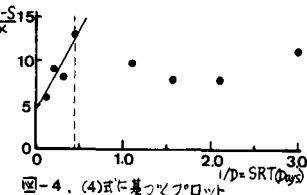


図-4. (4)式に基づくプロット

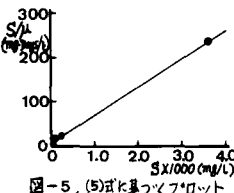


図-5. (5)式に基づくプロット

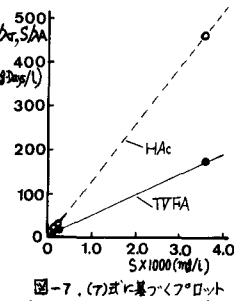


図-6. (6)式に基づくプロット

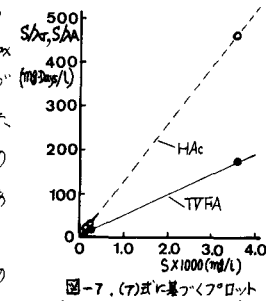


図-7. (7)式に基づくプロット

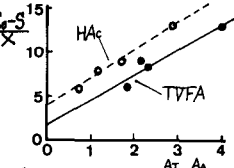


図-8. 増殖と発酵の相関性

表-2. 得られた各動力学的定数

| | |
|-----------------|-----------|
| R_A | 4.13/day |
| Y_g | 0.227 |
| μ_{max} | 15.6/day |
| 最短世代時間 | 1.07 hr |
| λ_{max} | 66.2/day |
| U_{max} | 21.4/day |
| λ_{max} | 8.0/day |
| K_p | 81.6 mg/l |
| K_{VA} | 70.5 mg/l |
| K_A | 111 mg/l |
| K_{VA} | 18.7 mg/l |
| C_f | 0.358 |
| C_A | 0.336 |
| U_f | 1.67 |
| $U_f A$ | 4.11 |
| $U_f e$ | 2.74 |
| $U_f A$ | 0.30 |

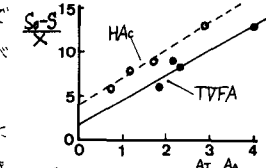


図-9. (10)式に基づくプロット